

Расчеты на устойчивость

ДИНАМИЧЕСКАЯ УСТОЙЧИВОСТЬ ФИЗИЧЕСКИ НЕЛИНЕЙНЫХ ПЛАСТИНЧАТЫХ СИСТЕМ

С.П. ИВАНОВ, д-р техн. наук, профессор,
А.С. ИВАНОВА, аспирант,
Поволжский государственный технологический университет,
424000, г. Йошкар-Ола, пл. Ленина, д.3;
E-mail: sp-ivanov@mail.ru, IvanovSP@volgatech.net

В работе представлен метод расчета на динамическую устойчивость пластинчатых систем из физически нелинейных материалов. Получена система нелинейных дифференциальных уравнений для исследования динамической устойчивости пластинчатых систем. В качестве примера выполнен расчет на устойчивость П-образной оболочки.

КЛЮЧЕВЫЕ СЛОВА: динамическая устойчивость, физическая нелинейность, пластинчатые системы.

Тонкостенные пространственные конструкции (в том числе пластинчатые системы) находят широкое применение в строительстве, авиастроении, машиностроении, приборостроении и других областях техники.

Современные конструкции изготавливаются в основном из высокопрочных материалов (железобетона, различных сплавов, композитов). Для большинства таких материалов характерна физическая нелинейность, т.е. они имеют нелинейную диаграмму деформирования. Тонкостенные конструкции способны выдерживать различные виды нагрузок (например, статические и динамические). Особую опасность представляют динамические нагрузки. Поэтому задачи расчета тонкостенных пространственных конструкций на устойчивость при действии динамических нагрузок (или на динамическую устойчивость) с учетом физической нелинейности материала являются актуальными для науки и прак-

тики. Исследованиям устойчивости тонкостенных конструкций при статических и динамических воздействиях посвящены работы многих авторов [1, 2, 5, 6, 7].

Результаты численного анализа устойчивости цилиндрических оболочек из композиционных материалов при несимметричном статическом нагружении с учетом физической и геометрической нелинейности получены в работе [1].

Нелинейная динамика замкнутых цилиндрических оболочек при действии локальных поперечных динамических нагрузок различных типов исследуется в работе [2]. Рассмотрен вопрос о динамических критических нагрузках для замкнутых цилиндрических оболочек [2]. Метод расчета на динамическую устойчивость стержней из физически нелинейных материалов был ранее представлен авторами данной работы в [3]. Вопросам динамической и статической устойчивости стержней, пластин, конических и цилиндрических оболочек посвящены публикации некоторых иностранных авторов [4 - 7].

В большинстве рассмотренных работ расчеты на устойчивость выполнены без учета физической нелинейности материала. Почти нет опубликованных ранее работ, посвященных исследованиям динамической устойчивости пластинчатых систем типа призматических оболочек с учетом физической нелинейности материала. Таким образом, данное направление мало изучено и является перспективным.

Диаграмма деформирования физически нелинейных материалов хорошо аппроксимируется кубическим полиномом:

$$\sigma_i = E \cdot e_i - E_1 \cdot e_i^3, \quad (1)$$

где σ_i – интенсивность напряжений, e_i – интенсивность деформаций, E – начальный модуль упругости материала, а E_1 – постоянная, учитывающая степень физической нелинейности материала [8].

Рассмотрим пластинчатые системы типа призматических оболочек при действии сжимающей динамической нагрузки $P(t)$ (рис. 1).

Перемещения точки M оболочки в направлении оси x обозначим u , в направлении оси y – v , оси z – w .

При решении задачи будем учитывать гипотезы Кирхгофа-Лява ($\sigma_z = 0$, $\varepsilon_{xz} = 0$, $\varepsilon_{yz} = 0$), гипотезу о нелинейно-упругом теле.

Запишем соотношения между деформациями и перемещениями:

$$\varepsilon_x = e_x - z\chi_x; \quad \varepsilon_y = e_y - z\chi_y; \quad \varepsilon_{xy} = e_{xy} - 2z\chi_{xy}, \quad (2)$$

$$\text{где } e_x = \frac{\partial u}{\partial x}; \quad e_y = \frac{\partial v}{\partial y}; \quad e_{xy} = \frac{\partial u}{\partial y} + \frac{\partial v}{\partial x}; \quad \chi_x = \frac{\partial^2 w}{\partial x^2}; \quad \chi_y = \frac{\partial^2 w}{\partial y^2}; \quad \chi_{xy} = \frac{\partial^2 w}{\partial x \partial y}.$$

Составим выражение интенсивности деформаций e_i и объемной деформации θ с учетом гипотез Кирхгофа-Лява ($\sigma_z = 0$, $\varepsilon_{xz} = 0$, $\varepsilon_{yz} = 0$):

$$e_i = \frac{1}{\sqrt{2(1+\nu)}} \sqrt{(\varepsilon_x - \varepsilon_y)^2 + (\varepsilon_y - \varepsilon_z)^2 + (\varepsilon_z - \varepsilon_x)^2 + \frac{3}{2}\varepsilon_{xy}^2}, \quad (3)$$

$$\theta = \varepsilon_x + \varepsilon_y + \varepsilon_z = \frac{1-2\nu}{1-\nu}(\varepsilon_x + \varepsilon_y),$$

где ν – коэффициент Пуассона материала оболочки.

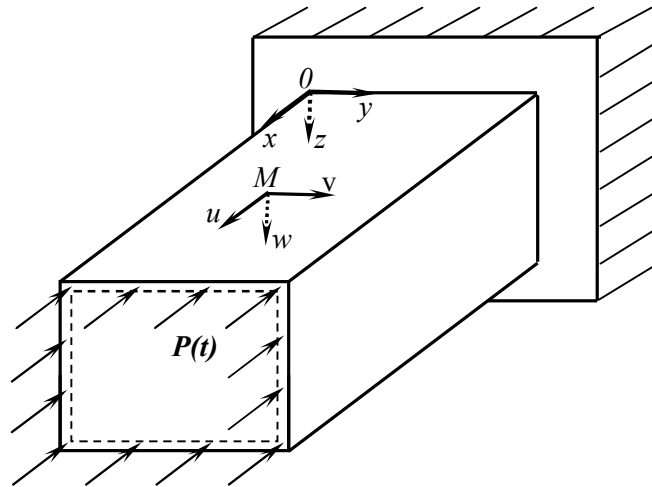


Рис. 1. Общий вид пластинчатой системы с действующей нагрузкой $P(t)$

Тогда деформацию ε_z определим по формуле:

$$\varepsilon_z = -\frac{\nu}{1-\nu}(\varepsilon_x + \varepsilon_y). \quad (4)$$

Для решения задачи используем энергетический метод. Составим выражение для полной энергии L системы:

$$L = \Pi - T, \quad (5)$$

где Π – потенциальная энергия, T – кинетическая энергия.

Выражение для определения потенциальной энергии системы имеет вид:

$$\Pi = \iint \left[A - \frac{1}{2} P(t) \left(\frac{\partial^2 w}{\partial x^2} \right) + q_y \cdot w \right] dy dx, \quad (6)$$

где q_y – нагрузка, которая действует в направлении оси y и учитывает начальное несовершенство системы, A – работа внутренних сил, отнесенная к единице площади поверхности оболочки.

Определим работу внутренних сил A :

$$A = \int_{-\delta/2}^{\delta/2} \Phi dz, \quad (7)$$

где δ – толщина составляющих пластин оболочки, Φ – удельная энергия изменения объема и формы. Удельная энергия Φ определяется по формуле [9]:

$$\Phi = \frac{1}{2} K \theta^2 + \frac{2}{3} (1 + \nu) \int_0^{\varepsilon_i} \sigma_i \cdot d\varepsilon_i, \quad (8)$$

где $K = E/[3(1-2\nu)]$ – модуль объемного сжатия, ν – коэффициент Пуассона материала оболочки.

Выражение для определения кинетической энергии системы имеет вид:

$$T = \frac{1}{2} \iint \frac{\rho \delta}{g} \left[\left(\frac{\partial u}{\partial t} \right)^2 + \left(\frac{\partial v}{\partial t} \right)^2 + \left(\frac{\partial w}{\partial t} \right)^2 \right] dy dx, \quad (9)$$

где ρ – объемный вес материала, g – ускорение свободного падения.

Перемещения u, v, w представим в виде разложений по В.З. Власову [10]:

$$\begin{aligned}
 u(x, y, t) &= \sum_i U_i(t) \varphi_i(x, y); & v(x, y, t) &= \sum_k V_k(t) \psi_k(x, y); \\
 w(x, y, t) &= \sum_d W_d(t) f_d(x, y); & (i=1,2,3,\dots,m; \quad k, d=1,2,3,\dots,n),
 \end{aligned}
 \tag{10}$$

где $U_i(t)$, $V_k(t)$, $W_d(t)$ являются искомыми функциями и обобщенными перемещениями в направлении осей x , y и z , а $\varphi_i(x, y)$, $\psi_k(x, y)$, $f_d(x, y)$ – координатные функции, которые выбираются по виду деформированного состояния системы.

Из условий совместности деформаций в узловых точках контура системы можно принять, что при $d = k$,

$$W_d(t) = V_k(t). \tag{11}$$

Учитывая соотношение (10), определим минимум функционала (5), используя уравнения Лагранжа:

$$\frac{\partial L}{\partial U_i} - \frac{d}{dt} \frac{\partial L}{\partial U_{i,t}} = 0; \quad \frac{\partial L}{\partial V_k} - \frac{d}{dt} \frac{\partial L}{\partial V_{k,t}} = 0. \tag{12}$$

Раскрывая (12), получим систему нелинейных дифференциальных уравнений:

$$\begin{cases}
 \sum_i (\gamma_1 a_{ji} - b_{ji}) U_i - \sum_k c_{jk} V_k - \frac{\rho}{gG} \sum_i a_{ji} U_{i,tt} = \Phi_j; \\
 \sum_k \left[-\gamma_1 e_{hk} + r_{hk} + \frac{P(t)}{a^* G} e_{hk}^* - \gamma_1 n_{hk} \right] V_k + \sum_i c_{hi} U_i - \frac{\rho}{gG} \sum_k d_{hk} V_{k,tt} + Q_k = \Phi_h; \\
 (i, j = 1, 2, 3, \dots, m; \quad k, h = 1, 2, 3, \dots, n),
 \end{cases}
 \tag{13}$$

где $\gamma_1 = \gamma / (1 - \nu^2)$, $\gamma = E / G$ – отношение модуля упругости E к модулю сдвига G , значение которого определяется по формуле $G = E / [2(1 + \nu)]$. Величина a^* – длина контура поперечного сечения оболочки, на который действует динамическая нагрузка $P(t)$. Нагрузка Q_k позволяет учитывать начальное несовершенство оболочки. Коэффициенты уравнений (13) имеют следующий вид:

$$\begin{aligned}
 a_{ji} &= \iint_{x,y} \varphi_{j,x} \varphi_{i,x} \delta \, dy \, dx; & b_{ji} &= \iint_{x,y} \varphi_{j,y} \varphi_{i,y} \delta \, dy \, dx; \\
 c_{jk} &= \iint_{x,y} \varphi_{j,y} \psi_{k,x} \delta \, dy \, dx; & c_{hi} &= \iint_{x,y} \psi_{h,x} \varphi_{i,y} \delta \, dy \, dx; \\
 e_{hk} &= \iint_{x,y} J f_{h,xx} f_{k,xx} \, dy \, dx; & r_{hk} &= \iint_{x,y} \psi_{h,x} \psi_{k,x} \delta \, dy \, dx; \\
 d_{hk} &= \iint_{x,y} (J f_k f_h + \psi_k \psi_h \delta) \, dy \, dx; & e_{hk}^* &= \iint_{x,y} f_{h,xx} f_{k,xx} \, dy \, dx; \\
 n_{hk} &= \iint_{x,y} J f_{h,yy} f_{k,yy} \, dy \, dx; & J &= \delta^3 / 12.
 \end{aligned}
 \tag{14}$$

В выражениях (14): $\varphi_{i,x} = \partial \varphi_i / \partial x$, $\varphi_{j,y} = \partial \varphi_j / \partial y$, $f_{h,xx} = \partial^2 f_h / \partial x^2$,

Получим систему $(m + n)$ дифференциальных уравнений для исследования динамической устойчивости призматических оболочек. В системах уравнений (12) и (13) в функциях $U_{i,t}, V_{k,t}, U_{i,tt}, V_{k,tt}$ индексы после запятой указывают на дифференцирование по времени t .

Для оболочек средней длины можно принять коэффициенты $e_{hk} = 0$.

Правая часть уравнений (13) учитывает физическую нелинейность материала и имеет следующий вид:

$$\begin{aligned} \Phi_j &= - \int \int_{xy} (N_{1,x} \varphi_j + N_2 \varphi_{j,y}) dy dx; \\ \Phi_h &= \int \int_{xy} (N_2 \psi_h - N_{3,x} \psi_h + N_{4,xx} f_h + N_5 f_{h,yy} - N_{6,x} f_h) dy dx, \end{aligned} \quad (15)$$

где $N_{i,x} = \partial N_i / \partial x$, $N_{i,xx} = \partial^2 N_i / \partial x^2$, $i = 1, 2, \dots, 6$.

Функции, находящиеся под интегралами в выражениях (15), имеют вид:

$$\begin{aligned} N_1 &= -\bar{B}_1 b_0 (v_1 e_x + 0,5 v_2 e_y) - \bar{D}_2 [b_1 (v_1 \chi_x + 0,5 \chi_y) + b_2 (v_1 e_x - 0,5 v_2 e_y)]; \\ N_2 &= -\bar{B}_1 b_0 (v_1 e_y + 0,5 v_2 e_x) - \bar{D}_2 [b_1 (v_1 \chi_y + 0,5 \chi_x) + b_2 (v_1 e_y - 0,5 v_2 e_x)]; \\ N_3 &= -0,25 \bar{B}_1 (b_0 e_{xy}) - 0,5 \bar{D}_2 (b_1 \chi_{xy} + 0,5 b_2 e_{xy}); \\ N_4 &= \bar{D}_2 [b_0 (v_1 \chi_x + 0,5 v_2 \chi_y) + b_1 (v_1 e_x + 0,5 v_2 e_y)] + \bar{D}_1 b_2 (v_1 \chi_x + 0,5 v_2 \chi_y); \\ N_5 &= \bar{D}_2 [b_0 (v_1 \chi_y + 0,5 v_2 \chi_x) + b_1 (v_1 e_y + 0,5 v_2 e_x)] + \bar{D}_1 b_2 (v_1 \chi_y + 0,5 v_2 \chi_x); \\ N_6 &= \bar{D}_2 (b_0 \chi_{xy} + 0,5 b_1 e_{xy}) + \bar{D}_1 b_2 \chi_{xy}, \end{aligned} \quad (16)$$

где $\bar{B}_1 = 12 E_2 \delta$; $\bar{D}_1 = 3 E_2 \delta^5 / 20$; $\bar{D}_2 = E_2 \delta^3$; $E_2 = E_1 / E(1 + \nu)^2$;

$$\begin{aligned} b_0 &= v_1 (e_x^2 + e_y^2) + v_2 e_x e_y + \frac{1}{4} e_{xy}^2; \\ b_1 &= 2 v_1 (e_x \chi_x + e_y \chi_y) + v_2 (e_x \chi_y + e_y \chi_x) + e_{xy} \chi_{xy}; \\ b_2 &= v_1 (\chi_x^2 + \chi_y^2) + v_2 \chi_x \chi_y + \chi_{xy}^2, \\ v_1 &= \frac{1}{3} \left[\frac{\nu}{(1 + \nu)^2} + 1 \right]; \quad v_2 = \frac{1}{3} \left[\frac{2\nu}{(1 - \nu)^2} - 1 \right]. \end{aligned}$$

Пример расчета. Исследуем на динамическую устойчивость П-образную оболочку (рис. 2), которая опирается торцами на диафрагмы.

Геометрические параметры оболочки: толщина пластин оболочки $\delta = 0,1a$; длина оболочки $l = 5a$. Коэффициент Пуассона материала оболочки $\nu = 0,2$; объемный вес материала $\rho = 20 \text{ кН/м}^3$.

Пусть динамическая нагрузка изменяется по закону:

$$P(t) = s \cdot t \cdot a^* \cdot \delta, \quad (17)$$

где s – величина, характеризующая скорость изменения сжимающего напряжения.

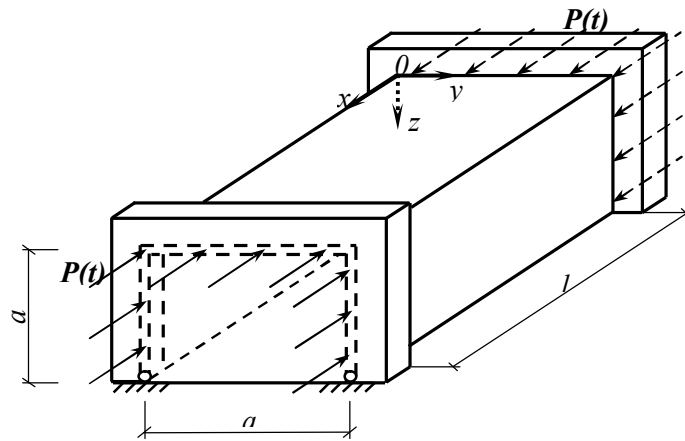


Рис. 2. Общая схема П-образной оболочки с действующими нагрузками

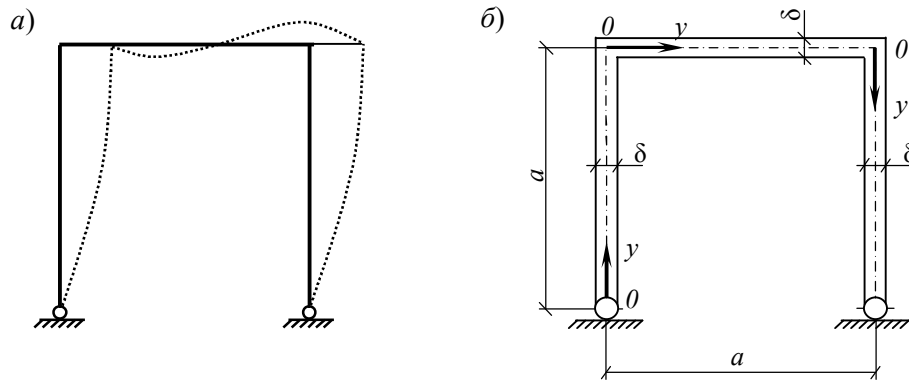


Рис. 3. Кососимметричная форма потери устойчивости П-образной оболочки (а), схема обхода контура поперечного сечения оболочки координатой y (б)

Для данной П-образной оболочки при кососимметричной форме потери устойчивости (рис. 3, а) перемещения можно представить в виде:

$$u(x,y,t) = U_1(t)\varphi_1(x,y); \quad v(x,y,t) = V_1(t)\psi_1(x,y); \quad w(x,y,t) = W_1(t)f_1(x,y), \quad (18)$$

где $U_1(t)$, $V_1(t)$, $W_1(t)$ – обобщенные перемещения в направлении осей x , y и z ; $\varphi_1(x,y)$, $\psi_1(x,y)$, $f_1(x,y)$ – координатные функции, которые задаем согласно схеме деформирования (рис. 3, а).

Для данной оболочки в случае потери устойчивости по одной полуволне в направлении оси x координатные функции можно записать в виде:

$$\varphi_1(x,y) = \varphi_1(y) \cos \lambda_1 x; \quad \psi_1(x,y) = \psi_1(y) \sin \lambda_1 x; \quad f_1(x,y) = f_1(y) \sin \lambda_1 x, \quad (19)$$

где $\lambda_1 = \pi/l$, l – длина оболочки.

При составлении функций $\varphi_1(y)$, $\psi_1(y)$, $f_1(y)$ обходим контур поперечного сечения оболочки по часовой стрелке, начиная с левой опоры (рис. 3, б). Эпюры координатных функций представлены на рис. 4. Тогда дифференциальные уравнения динамической устойчивости (13) для данной призматической оболочки принимают следующий вид:

$$\begin{aligned} (\gamma_1 a_{11} - b_{11}) U_1 - c_{11} V_1 - \frac{\rho}{gG} a_{11} U_{1,tt} &= \Phi_1; \\ (\gamma_{11} + \frac{P(t)}{a^* G} e_{11}^* - \gamma_1 m_{11}) V_1 + c_{11} U_1 - \frac{\rho}{gG} d_{11} V_{1,tt} + Q_1 &= \Phi_2. \end{aligned} \quad (20)$$

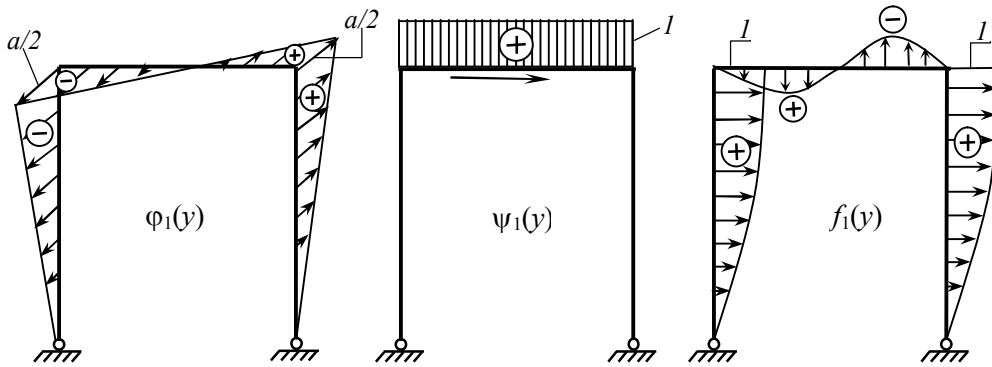


Рис. 4. Схема эпюр координатных функций

Если пренебречь продольными колебаниями, можно принять $U_{1,tt} \approx 0$.

Тогда система уравнений (20) сводится к дифференциальному уравнению:

$$\left[r_{11} + \frac{P(t)}{a^* G} e_{11}^* - \gamma_1 n_{11} + \frac{c_{11}^2}{\gamma_1 a_{11} - b_{11}} \right] V_1 - \frac{\rho}{g G} d_{11} V_{1,tt} + Q_1 = \Phi_{нел.} \quad (21)$$

Правая часть в уравнении (21) определяется по формулам (15). Найдем коэффициенты уравнения (21):

$$\begin{aligned} a_{11} &= \iint_{y \ x} \varphi_{1,x}^2 \delta \, dx dy = 0,025a^3; & b_{11} &= \iint_{y \ x} \varphi_{1,y}^2 \delta \, dx dy = 0,15a^2; \\ c_{11} &= \iint_{y \ x} \psi_{1,x} \varphi_{1,y} \delta \, dx dy = 0,1a^2; & r_{11} &= \iint_{y \ x} \psi_{1,x}^2 \delta \, dx dy = 0,1a^2; \\ n_{11} &= \iint_{y \ x} (J f_{1,yy}^2) \, dx dy = 0,33 \cdot 10^{-3}; & e_{11}^* &= \iint_{y \ x} J f_{1,xx}^2 \, dx dy = 0,429 / a^2; \\ d_{11} &= \iint_{y \ x} (J f_1^2 + \psi_1^2 \delta) \, dx dy = 0,25a^3. \end{aligned} \quad (22)$$

Введем следующие обозначения:

$$P_{кр} = 0,00713 E a^2; t^* = \frac{P(t)}{P_{кр}}; \zeta = \frac{V_1}{\delta}; S^* = 23,81 \frac{s^2 (a^*)^2 \delta^2 \cdot l \cdot \rho}{g \cdot G}, \quad (23)$$

где $P_{кр}$ – величина статической критической нагрузки; t^* – безразмерный параметр времени; ζ – безразмерная величина прогиба пластин оболочки; S^* – параметр скорости изменения напряжения.

Используя обозначения (23) в уравнении (21), получим окончательно дифференциальное уравнение для исследования динамической устойчивости П-образной оболочки:

$$(1 + 0,656 t^*) \cdot \zeta - S^* \frac{d^2 \zeta}{dt^{*2}} + Q = \Phi_{нел.} \quad (24)$$

В уравнении (24) правая часть учитывает физическую нелинейность материала, а нагрузка Q – начальное несовершенство оболочки.

Интегрирование дифференциального уравнения (24) выполнено численным методом Рунге-Кутты на ПЭВМ.

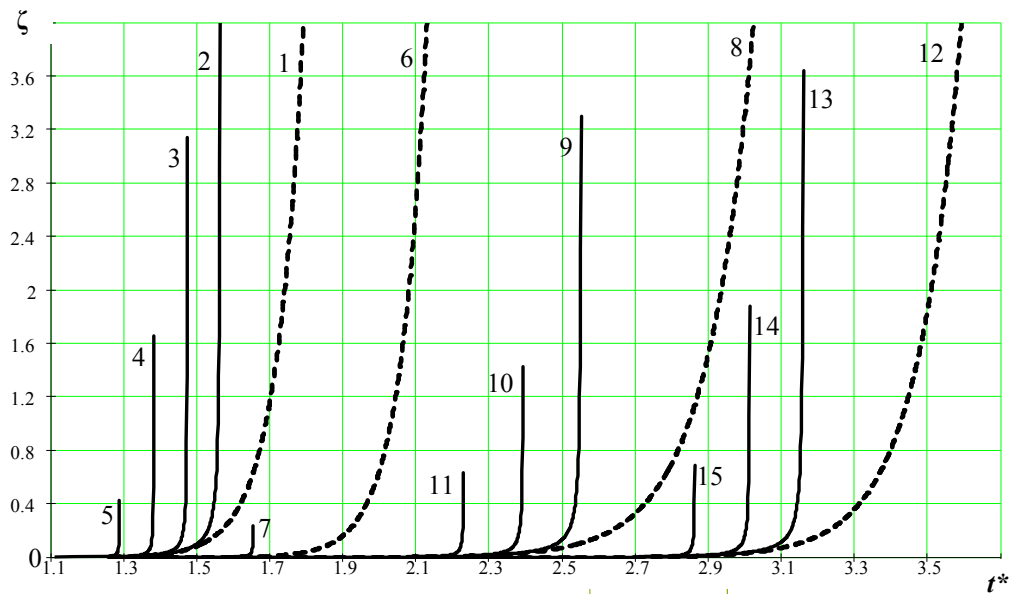


Рис. 5. Графики зависимости прогиба ζ от параметра времени t^* .

Таблица 1

Номер графика	Степень физической нелинейности E_I/E	Нагрузка Q	Скорость изменения напряжения s , в МПа/сек ²	Динамический коэффициент K_d
1	0	10^{-6}	10^5	$\approx 1,70$
2	10^3	10^{-6}	10^5	$\approx 1,50$
3	10^4	10^{-6}	10^5	$\approx 1,43$
4	10^5	10^{-6}	10^5	$\approx 1,35$
5	10^6	10^{-6}	10^5	$\approx 1,28$
6	0	10^{-8}	10^5	$\approx 2,0$
7	10^6	10^{-8}	10^5	$\approx 1,65$
8	0	10^{-6}	$2 \cdot 10^5$	$\approx 2,80$
9	10^3	10^{-6}	$2 \cdot 10^5$	$\approx 2,52$
10	10^4	10^{-6}	$2 \cdot 10^5$	$\approx 2,37$
11	10^5	10^{-6}	$2 \cdot 10^5$	$\approx 2,22$
12	0	10^{-8}	$2 \cdot 10^5$	$\approx 3,40$
13	10^3	10^{-8}	$2 \cdot 10^5$	$\approx 3,13$
14	10^4	10^{-8}	$2 \cdot 10^5$	$\approx 3,0$
15	10^5	10^{-8}	$2 \cdot 10^5$	$\approx 2,85$

По результатам расчета на динамическую устойчивость П-образной оболочки построены графики зависимости прогиба ζ от параметра времени $t^* = P(t)/P_{кр}$ при различных значениях параметров E_I/E , Q , s (см. рис. 5 и табл. 1).

Введем понятие динамического коэффициента K_d , который равен отношению динамической «критической» нагрузки к статической критической нагрузке [11]. Динамическую «критическую» нагрузку определяем, исходя из бурного выпучивания оболочки, т.е. резкого возрастания прогиба ζ . Динамический коэффициент K_d равен такому значению параметра времени t^* , которое соответствует бурному выпучивания оболочки. Например, из графика 3 (рис. 5) видно, что

резкое возрастание прогиба ζ оболочки наблюдается, когда параметр времени $t^* = P(t)/P_{кр} \approx 1,43$. Динамический коэффициент $K_d = t^* \approx 1,43$. Графики 1, 6, 8, 12 построены без учета физической нелинейности материала оболочки ($E_I = 0$), остальные графики – с учетом степени физической нелинейности E_I/E (рис. 5 и табл. 1). Рассмотрим графики 1 и 2 - 5 (рис. 5 и табл. 1). При учете физической нелинейности материала кривая зависимости прогиба от параметра времени $\zeta(t^*)$ смещается влево, динамический коэффициент K_d уменьшается. Таким образом, если материал физически нелинейный, то бурное выпучивание оболочки наступает раньше, по сравнению с оболочкой, имеющей линейную диаграмму деформирования ($E_I = 0$).

Из графиков 2 - 5 видно, что с увеличением степени физической нелинейности E_I/E динамический коэффициент K_d уменьшается (рис. 5 и табл. 1) (при $E_I/E = 10^3$: $K_d \approx 1,5$ (график 2), при $E_I/E = 10^6$: $K_d \approx 1,28$ (график 5)). Таким образом, чем больше степень физической нелинейности материала оболочки, тем меньше динамическая «критическая» нагрузка, т.е. при меньшем значении динамической нагрузки $P(t)$ происходит бурное выпучивание оболочки.

С увеличением скорости изменения напряжения s динамический коэффициент K_d возрастает. Если s увеличивается в 2 раза, то динамический коэффициент K_d возрастает $\approx 1,7$ раза (графики 2 и 9, 3 и 10, 4 и 11, 6 и 12).

На динамический коэффициент K_d влияет величина нагрузки Q , которая учитывает начальное несовершенство оболочки. С уменьшением Q динамический коэффициент K_d возрастает (графики 1 и 6, 5 и 7, 9 и 13, 10 и 14, 11 и 15).

Выводы: Разработан метод расчета на динамическую устойчивость пластинчатых систем из физически нелинейных материалов. Получена система нелинейных дифференциальных уравнений для исследования динамической устойчивости пластинчатых систем типа призматических оболочек. В качестве примера выполнен расчет на динамическую устойчивость П-образной оболочки. Рассмотрено влияние таких параметров, как степень физической нелинейности материала оболочки, скорость изменения сжимающего напряжения, начальное несовершенство оболочки, на критерии динамической устойчивости оболочки.

Л и т е р а т у р а

1. Трушин, С.И. Устойчивость нелинейно деформируемых цилиндрических оболочек из композиционного материала при действии неравномерных нагрузок / С.И. Трушин, Е.В. Сысоева, Т.А. Журавлева // Строительная механика инженерных конструкций и сооружений. – 2013. - №2. – С. 3-10.
2. Крысько, В.А. Нелинейная динамика замкнутых цилиндрических оболочек при действии локальных поперечных нагрузок / В.А. Крысько, К.Ф. Шагивалеев // Строительная механика инженерных конструкций и сооружений. – 2010. - №4. - С. 3-11.
3. Иванов, С.П. Колебания и устойчивость стержней из физически нелинейных материалов / С.П. Иванов, А.С. Иванова // Строительная механика инженерных конструкций и сооружений. – 2011. - №3. – С. 3-6.
4. Fujita K., Gotou A. Dynamic stability of an elastic beam subjected to follower forces // ASME 2012. Pressure Vessels and Piping Conference, PVP 2012, Volume 8, 2012, P. 241-249.
5. Shafei E., Kabir M. Z. Dynamic stability optimization of laminated composite plates under combined boundary loading // Appl. Compos. Mater, 2011, 18, № 6, p. 539-557.
6. Deniz A., Sofiyev A. H. The nonlinear dynamic buckling response of functionally graded truncated conical shells // Journal of Sound and Vibration, 2013, № 4, p. 978-992.
7. Wu J., Cheng Q.H., Liu B., Zhang Y.W., Lu W.B., Hwang K.C. Study on the axial compression buckling behaviors of concentric multi-walled cylindrical shells filled with soft materials // Journal of the Mechanics and Physics of Solids, 2012, 60, № 5, p. 803-826.
8. Иванов, С.П. Пластинчатые системы, контактирующие с упругой средой: монография / С.П. Иванов, О.Г. Иванов. - Йошкар-Ола: МарГТУ, 2008. - 164 с.

9. Лукаш, П.А. Основы нелинейной строительной механики / П.А. Лукаш. – М.: Стройиздат, 1978. – 204 с.
10. Власов, В.З. Тонкостенные пространственные системы / В.З. Власов. – М.: Госстройиздат, 1958. – 502 с.
11. Вольмир А.С. Нелинейная динамика пластинок и оболочек / А.С. Вольмир. – М.: Наука, 1972. – 432 с.

References

1. Trushin, SI, Sysoeva, EV, Juravleva, TA (2013). The stability of nonlinear deformable cylindrical composite shells under the action of non-uniform loads. Structural Mechanics of Engineering Constructions and Buildings, №2, p. 3-10.
2. Krysko, VA, Shagivaleev, KF (2010). Nonlinear dynamics of closed cylindrical shells under the action of local transverse loads. Structural Mechanics of Engineering Constructions and Buildings, №4, p. 3-11.
3. Ivanov, SP, Ivanova, AS (2011). The vibrations and stability of bars with physically nonlinear materials. Structural Mechanics of Engineering Constructions and Buildings, №3, p. 3-6.
4. Fujita, K, Gotou, A (2012). Dynamic stability of an elastic beam subjected to follower forces, ASME 2012 Pressure Vessels and Piping Conference, PVP 2012, Volume 8, p. 241-249.
5. Shafei, E, Kabir, M Z (2011). Dynamic stability optimization of laminated composite plates under combined boundary loading. Appl. Compos. Mater, 18, № 6, p. 539-557.
6. Deniz, A, Sofiyev, AH (2013). The nonlinear dynamic buckling response of functionally graded truncated conical shells. Journal of Sound and Vibration, № 4, p. 978-992.
7. Wu, J, Cheng, QH, Liu, B, Zhang, YW, Lu, WB, Hwang, KC (2012). Study on the axial compression buckling behaviors of concentric multi-walled cylindrical shells filled with soft materials. Journal of the Mechanics and Physics of Solids, 60, № 5, p. 803-826.
8. Ivanov, SP, Ivanov OG (2008). Plate systems, contacting with elastic medium. Yoshkar-Ola: MarSTU, 164 p.
9. Lukash, PA (1958). Fundamentals of nonlinear structural mechanics. Moscow: Stroizdat, 204 p.
10. Vlasov, VZ (1958). Thin-walled space systems. Moscow: Gosstroyizdat, 502 p.
11. Volmir AS (1972). Nonlinear dynamics of plates and shells. Moscow: Nauka, 432 p.

THE DYNAMIC STABILITY OF PHYSICALLY NONLINEAR PLATE SYSTEMS

S.P. Ivanov, A.S. Ivanova

Volga State University of Technology, Yoshkar-Ola

In the article, the technique of dynamic stability analysis of plate systems having the nonlinear diagram of material deformation is presented. The example of calculation of a flat-topped shell is given.

KEY WORDS: dynamic stability, physical nonlinearity, plate systems.

